

## Řešení úloh 1. kola 35. ročníku FO, kat. A

### 1. úloha

Bez újmy na všeobecnosti budeme predpokladať, že kvapalina prechádzajúca vnútornou rúrkou svoju teplotu znižuje, t.j.  $T_{z2} > T_{k2}$ , teda aj  $T_{z1} < T_{k1}$ . Obsah  $S$  prierezu tokov kvapaliny v oboch trubiciach je rovnaký. Rovnaké sú aj veľkosti rýchlosťi prúdenia kvapalín, preto späť teploty (zmenšenie) v 2. rúrke od jej začiatku smerom ku koncu je rovnaký ako späť teploty v 1. rúrke výmeníka. Z toho vyplýva, že rozdiel teplôt medzi kvapalinami pozdĺž celého výmeníka je rovnaký

$$\Delta T = T_{z2} - T_{k1} = T_{k2} - T_{z1}. \quad (1)$$

2 body

Potom aj tepelný tok medzi kvapalinami v oboch rúrkach je stály a má hodnotu

$$q = kS_0(T_{z2} - T_{k1}), \quad (2)$$

2 body

kde  $S_0$  je obsah plochy vnútornej rúrky, na ktorej dochádza k tepelnej výmene;  $S_0 = 2\pi Rd$ ,  $R$  je polomer vnútornej rúrky  $R = \sqrt{S/\pi}$ . Tepelný tok sa využíva na zohrievanie kvapaliny prechádzajúcej vonkajšou rúrkou, t.j. kvapaliny s hmotnosťným tokom  $Q_m = \rho v S$ , ktorej teplota sa zvýší z  $T_{z1}$  na  $T_{k1}$ . Preto

$$q = \rho v S c (T_{k1} - T_{z1}). \quad (3)$$

2 body

Z (2) a (3) úpravou máme

$$k2\pi\sqrt{\frac{S}{\pi}}d(T_{z2} - T_{k1}) = \rho v S c (T_{k1} - T_{z1}).$$

Z tejto rovnice možno určiť  $T_{k1}$  a potom použitím vzťahu (1) aj  $T_{k2}$ :

$$T_{k1} = \frac{T_{z1}\rho v c \sqrt{S} + T_{z2}2kd\sqrt{\pi}}{\rho v c \sqrt{S} + 2kd\sqrt{\pi}}, \quad \text{2 body}$$

$$T_{k2} = \frac{T_{z2}\rho v c \sqrt{S} + T_{z1}2kd\sqrt{\pi}}{\rho v c \sqrt{S} + 2kd\sqrt{\pi}}, \quad \text{2 body}$$

### 2. úloha

a) Při pohledu na kapku rosý směrem "proti Slunci" přicházejí do oka dva paprsky - paprsek odražený od povrchu kapky a jen málo zeslabený paprsek, který kapkou prochází a dvakrát se přitom lámne (obr. RA1). Při pohledu směrem "od Slunce" vidíme jen paprsky odražené (obr. RA2). Odrazivost při kolmém odrazu je mnohem menší než při úhlu odrazu blízkém  $90^\circ$ .

2 body

b) Vyjděme z obr. RA1. Paprsek odražený od povrchu kapky do objektivu leží v rovině určené směrem "od Slunce" a osou objektivu. Úhel dopadu je  $90^\circ - \frac{\varphi}{2}$ . Vzdáenosť odraženého paprsku od středu kapky je  $d_1 = R \cos \frac{\varphi}{2}$ . Pro  $\varphi = 30^\circ$  dostáváme  $d_1 = 0,966R$ .

2 body

Paprsek, který se přes kapku láme do objektivu, splňuje vztahy

$$\frac{\sin \alpha}{\sin \beta} = n, \quad \frac{\varphi}{2} = \alpha - \beta, \quad d_2 = R \sin \alpha,$$

kde  $\alpha$  je úhel dopadu,  $\beta$  úhel lomu a  $d_2$  vzdálenost lomeného paprsku od středu kapky.  
Úpravou dostaneme

$$\sin \alpha = n \sin \left( \alpha - \frac{\varphi}{2} \right) = n \sin \alpha \cos \frac{\varphi}{2} - n \cos \alpha \sin \frac{\varphi}{2},$$

$$\tan \alpha = \frac{n \sin \frac{\varphi}{2}}{n \cos \frac{\varphi}{2} - 1}.$$

Aby úloha měla řešení, musí platit  $\cos \frac{\varphi}{2} < \frac{1}{n}$ ; v případě vodní kapky  $\varphi < 83^\circ$ .  
Jestliže  $\varphi = 30^\circ$ , dostáváme pro červený konec spektra

$$\alpha_c = 50,5^\circ, \quad d_{2c} = 0,771R$$

a pro fialový konec spektra

$$\alpha_f = 49,5^\circ, \quad d_{2f} = 0,760R.$$

Disperze světla v důsledku různého indexu lomu je malá a na snímku se prakticky neprojeví.  
**4 body**

Vzhled snímku znázorňuje obr. RA3. Na levé straně kapky září paprsek odražený v těsné blízkosti obrysu. Na pravé straně září paprsek lomený vzdálený od středu kapky přibližně tři čtvrtiny poloměru.  
**2 body**

### 3. úloha

a) Úhlová rychlosť Venuše vzhledem k Zemi je  $\omega_{syn} = \omega_v - \omega_z$ , z čehož po substituci  $\omega = \frac{2\pi}{T}$   
a úpravě dostaneme

$$T_v = \frac{T_{syn} T_z}{T_{syn} + T_z} = 0,6152 \text{ roku} = 224,7 \text{ d}. \quad \text{1 bod}$$

b) Vzdálenost  $r_v$  Venuše od Slunce určíme z trojúhelníku SZV na obr. RA4:

$$r_v = r_z \sin \alpha = 0,7234 \text{ AU} = 108,2 \cdot 10^6 \text{ km}. \quad \text{1 bod}$$

c) Průměrnou rychlosť obou planet určíme z jejich oběžných dob:

$$v = \frac{2\pi r}{T}, \quad v_v = 35,0 \text{ km.s}^{-1}, \quad v_z = 29,8 \text{ km.s}^{-1}. \quad \text{1 bod}$$

d) Pro dostředivou sílu působící na planetu platí:

$$F_d = \frac{4\pi^2 r m}{T^2} = \kappa \frac{M m}{r^2}.$$

Z toho úpravou dostaneme pro obě planety:

$$M = \frac{4\pi^2 r^3}{\kappa T^2} \doteq 2,0 \cdot 10^{30} \text{ kg}. \quad \text{1 bod}$$

e) Platnost 3. Keplerova zákona ověříme porovnáním:

$$\frac{r_v^3}{T_v^2} = \frac{r_z^3}{T_z^2} \doteq 3,4 \cdot 10^{18} \text{ m}^3 \cdot \text{s}^2 \quad \text{1 bod}$$

f) Velká poloosa eliptické dráhy sondy má délku

$$a = \frac{r_s + r_v}{2} = 126,9 \cdot 10^6 \text{ km}.$$

Z 3. Keplerova zákona odvodíme:

$$T_{sondy} = T_s \sqrt{\frac{a^3}{r_s^3}} = 292 \text{ d}$$

a doba přiblížení sondy k Venuši je

$$t = \frac{T_{sondy}}{2} = 146 \text{ d.}$$

2 body

g) Zorné úhly Slunce vzhledem k Zemi a vzhledem k Venuši jsou

$$\alpha_s = \frac{2R}{r_s}, \quad \alpha_v = \frac{2R}{r_v}$$

Po úpravě

$$\alpha_v = \alpha_s \frac{r_s}{r_v} = 44,2^\circ.$$

1 bod

h) Solární konstantu můžeme určit pomocí vztahu  $K = \frac{L}{4\pi r^2}$ , kde  $L$  je zářivý výkon Slunce.

Solární konstanty Venuše a Země jsou v poměru  $\frac{K_v}{K_s} = \frac{r_s^2}{r_v^2}$ . Z toho  $K_v = 2600 \text{ W} \cdot \text{m}^{-2}$ .

Mezi zářením dopadajícím ze Slunce na polovinu povrchu sondy a zářením vysílaným celým povrchem sondy je rovnováha. Z toho určíme průměrnou teplotu sondy:

$$K_v \pi R^2 = \sigma 4\pi R^2 T^4; \quad \sigma = 5,67 \cdot 10^{-8} \text{ W} \cdot \text{m}^{-2} \cdot \text{K}^{-4},$$

$$T = \sqrt[4]{\frac{K_v}{4\sigma}} \doteq 327 \text{ K} \sim 54^\circ\text{C}.$$

V důsledku skleníkového efektu je teplota povrchu Venuše vyšší asi o 430 K. 2 body

#### 4. úloha

a) Mriežka sodíka je prostorovo stredená (obr. RA5). Do jednej elementárnej bunky patria  $n = 2$  atómy. Pre dĺžku hrany  $a$  elementárnej bunky máme

$$a = \frac{4R_{Ne}}{\sqrt{3}}$$

Súčinitel zaplnenia mriežky sodíka potom je

$$f = \frac{n4\pi R_{Ne}^3}{3a^3} = \frac{\pi\sqrt{3}}{8} \doteq 0,680.$$

1,5 boda

b) Pre plošne stredenú kubickú mriežku striebra (obr. RA6) máme

$$a = \frac{4R_{Ag}}{\sqrt{2}},$$

do jednej elementárnej bunky však patria  $n = 4$  atómy. Súčinitel zaplnenia mriežky striebra je

$$f = \frac{n4\pi R_{Ag}^3}{3a^3} = \frac{\pi\sqrt{2}}{6} \doteq 0,740.$$

1,5 boda

c) Pre hexagonálnu mriežku s najhustejsím usporiadáním, v ktorej kryštalizuje horčík, máme

$$a = 2R_{Mg}, \quad c = 4R_{Mg} \sqrt{\frac{2}{3}}$$

Objem elementárnej bunky je  $V_0 = 24R_{Mg}^3 \cdot \sqrt{2}$ . Do jednej elementárnej bunky patrí  $n = 6$  atómov. Súčinom zaplnenia mriežky horčíka je

$$f = \frac{6 \cdot 4\pi R_{Mg}^3}{3 \cdot 24R_{Mg} \cdot \sqrt{2}} = \frac{\pi \sqrt{2}}{6} \doteq 0,740. \quad 3 \text{ body}$$

Zaplnenie mriežky sodíka je najmenšie (68 %), zaplnenie mriežky striebra je rovnaké ako zaplnenie mriežky horčíka (74 %).

d) Pre hustotu každého z uvedených kovov platí

$$\rho = \frac{nM_m}{N_A V_0},$$

kde  $n$  je počet atómov v jednej bunke,  $M_m$  je molová hmotnosť kovu,  $N_A$  je Avogadrova konštanta a  $V_0$  je objem elementárnej bunky.

$$\rho_{Na} = \frac{3\sqrt{3}M_m N_a}{32N_A R_{Na}^3}. \quad 1 \text{ bod}$$

$$\rho_{Ag} = \frac{\sqrt{2}M_m Ag}{8N_A R_{Ag}^3}. \quad 1 \text{ bod}$$

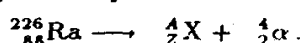
$$\rho_{Mg} = \frac{M_m Mg}{4\sqrt{2}N_A R_{Mg}^3}. \quad 1 \text{ bod}$$

Pre dané hodnoty máme  $\rho_{Na} = 970 \text{ kg.m}^{-3}$ ,  $\rho_{Ag} = 1500 \text{ kg.m}^{-3}$ ,  $\rho_{Mg} = 1750 \text{ kg.m}^{-3}$ .

e) Pre fyzikálne interpretácie majú uvedené predstavy zmysel. Potvrdzuje to napr. skutočnosť, že polomery atómov vypočítané pre tzv.  $\alpha$ Fe (prostoročne stredená kubická štruktúra kovu pri teplotách do 910 °C,  $a = 0,286 \text{ nm}$ ) vedú u tzv.  $\gamma$ Fe (plošne stredená štruktúra, na ktorú sa premení  $\alpha$ Fe pri zohriatí nad teplotu 910 °C) k hodnote mriežkovej konštanty  $a = 0,357 \text{ nm}$ . Uvedenú mriežkovú konštantu pri daných teplotách Fe skutočne možno namerať. Tento fenomén možno sledovať a využiť u všetkých kovov, ktorých štruktúra je závislá od teploty. 1 bod

## 5. úloha

a) Štruktúrne vyjadrenie rozpadovej reakcie je



Z rovníc  $226 = A + 4$ ,  $88 = Z + 2$  dostaneme  $A = 222$ ,  $Z = 86$ . Ide o nuklid radón  ${}^{222}_{86}\text{Rn}$ , ktorý sa dostáva do základného stavu; teda k emisii gama - fotónu nedochádza. (Pri menšej energii častice  $\alpha$  je tento rozpad doprovádzaný aj emisiou gama - kvanta.) 2 body

b) Pokojová energia častice  $\alpha$

$$E_0 = m_0 c^2 = 4,003 \cdot 1,66 \cdot 10^{-27} \cdot 9 \cdot 10^{16} \text{ J} \doteq 6,0 \cdot 10^{-10} \text{ J} \doteq 3700 \text{ MeV}$$

je skoro tisíc raz väčšia ako energia kinetická. Môžeme preto pracovať so vzťahmi platnými v klasickej mechanike. 2 body

c) Pre kinetickú energiu častice  $\alpha$  platí

$$E = \frac{mv^2}{2} = \frac{p^2}{2m}$$

Po úprave z týchto vzťahov máme

$$v = \sqrt{\frac{2E}{m}} = 1,52 \cdot 10^7 \text{ m} \cdot \text{s}^{-1}, \quad p = \sqrt{2mE} = 10,3 \cdot 10^{-20} \text{ kg} \cdot \text{m} \cdot \text{s}^{-1}. \quad \text{3 body}$$

d) Hybnosť nuklidu radónu má rovnakú veľkosť ako hybnosť častice  $\alpha$ , avšak opačný smer. Preto platí

$$E_{Rn} = \frac{p^2}{2m_{Rn}} = 0,09 \text{ MeV}, \quad v_{Rn} = v \frac{m}{m_{Rn}} = 2,74 \cdot 10^5 \text{ m} \cdot \text{s}^{-1}. \quad \text{2 body}$$

e) Celková energia uvoľnená pri tomto rozpadе je rovna súčtu kinetických energií častice  $\alpha$  a jadra atomu:

$$E_c = E + E_{Rn} = 4,87 \text{ MeV}. \quad \text{1 bod}$$

### 7. úloha

Pro uzel u invertujúceho vstupu OZ platí podle prvého Kirchhoffova zákona  $i_2 = -i_1$ . Proto i fázory obou proudu jsou opačné:

$$i_2 = -i_1, \quad \frac{U_o}{Z_2} = -\frac{U_i}{Z_1}.$$

Z toho odvodíme

$$A_u = \frac{U_o}{U_i} = -\frac{\frac{nR}{j\omega C}}{nR + \frac{1}{j\omega C}} = -\frac{n}{1 + jnRC}. \quad \text{2 body}$$

Zavedením mezní úhlrovej frekvencie  $\omega_m = \frac{1}{nRC}$  a mezní frekvencie

$f_m = \frac{1}{2\pi nRC}$  dostaneme

$$A_u = -\frac{n}{1 + j\frac{f}{f_m}}. \quad (4)$$

Absolutnú hodnotu napäťového prenosu a fázové posunutí určíme zo vzťahu

$$A_u = \frac{n}{\sqrt{1 + \left(\frac{f}{f_m}\right)^2}}, \quad \operatorname{tg} \varphi = -\frac{f}{f_m}, \quad \varphi = 180^\circ - \arctg \frac{f}{f_m}. \quad (5)$$

3 body

Diskuse:

a) Při nízkých frekvencích  $f \ll f_m$  platí

$$A_u \approx n, \quad \operatorname{tg} \varphi \rightarrow 0, \quad \varphi \rightarrow 180^\circ.$$

Výstupní napätí má  $n$  krát väčšiu amplitudu než napätí vstupné a opačnou fazu.

b) Při mezní frekvenci  $f_m$  platí

$$A_u = \frac{n}{\sqrt{2}}, \quad \operatorname{tg} \varphi = -1, \quad \varphi = 135^\circ.$$

c) Pro vysoké frekvence  $f \gg f_m$  platí

$$A_u \doteq j \frac{nf_m}{f}, \quad A_u \doteq \frac{nf_m}{f}, \quad \varphi \rightarrow 90^\circ, \quad a = 20 \log n + 20 \log f_m - 20 \log f.$$

Napěťový přenos s rostoucí frekvencí klesá o 20 dB na dekádu, výstupní napětí předběhá před vstupním přibližně o 1/4 periody 2 body

Výsledkům diskuse odpovídá průběh frekvenčních charakteristik na obr. RA7. Aktivní filtr se chová jako dolní propust s mezní frekvencí  $f_m$ . Signály o frekvenci nižší než  $f_m$  jsou  $n$  krát zesíleny. Komplexní frekvenční charakteristika je půlkružnice v 2. kvadrantu Gaussovy roviny.

Pro dané hodnoty dostáváme  $f_m = 320$  Hz,  $a_0 = 14$  dB.

1 bod

RA7

